

تحلیل مدل ریاضی انتشار ترک هیدرولیکی در محیط کشسان: رژیم سختی - گرانزوی

علی عسگری* (استادیار)

دانشکده فنی و هندسی، دانشگاه فازندران، بالاپسر

علی اکبر گلشنی (استادیار)

دانشکده هندسی عمران و محیط زیست، دانشگاه تربیت مدرس

در نوشتار حاضر، یک روش شبیه تحلیلی توسعه یافته برای حل مسئله رشد ترک هیدرولیکی در یک محیط کشسان و در حالت کرش صفحه‌بی ارائه شده است. محیط نفوذناپذیر و چهارمگی آن نسبتاً زیاد فرض شده و همچنین جریان سیال غیرقابل تراکم و آرام در نظر گرفته شده است. ترک در همه زمان‌ها کاملاً از سیال پر شده و انتشار ترک در چارچوب مکانیک شکست خطی (LEFM) است، به عبارت دیگر، ترک به صورت شبیه استاتیکی رشد می‌کند. مهم‌ترین فراسنج‌های مؤثر در مسئله حاضر عبارت‌اند از: گرانزوی سیال، چقرمگی محیط، میزان دبی ورودی، مدول کشسانی، تنش محصورکننده و مقدار زمان تزریق. در پژوهش‌های اخیر، مسئله شکست هیدرولیکی با استفاده از روش‌های مختلف تحلیلی و شبیه تحلیلی بررسی شد. در بسیاری موارد، نتایج پژوهش‌های انجام شده برای مقادیر کوچک از گرانزوی سیال در مقابل سختی قابل قبول است، در صورتی که در پژوهش حاضر، با توسعه دادن روش اغتشاش، به کم برخی از تبدیلات اویلری، نتایج برای مقادیر بزرگ تری از گرانزوی نیز همگراست. نتایج این پژوهش با مدل سازی عددی موجود مقایسه و بررسی شده است.

وازگان کلیدی: شکست هیدرولیکی، رژیم سختی - گرانزوی، روش اغتشاش توسعه یافته، تبدیلات اویلری.

۱. مقدمه

جهت حرکت سیال لزج هدر می‌رود. در میان الگوهای تحلیلی یا نیمه تحلیلی، ذکر کارهای اولیه انجام شده در برخی پژوهش‌ها^[۱-۲] اهمیت خاصی دارد. و در برخی از آن‌ها یکی از الگوهای ساده‌تر که همراه فرضیات بسیار ساده‌کننده‌بی در مورد متغیرهای مسئله بالاخص بازشدنی ترک و فشار سیال استفاده شده است. به طور مثال، در سال ۱۹۸۵^[۳] یک راه حل خودمنشابه^۴ برای بررسی گسترش ترک KGD در یک محیط کشسان نفوذناپذیر با سختی محدود^۵ ارائه شد و با تعیین معادلات همیسته همچون معادله‌ی جریان سیال ویسکوز تراکم ناپذیر در ترک با استفاده از نگره‌ی روانسازی، معادله‌ی کشسانی در حالت کرش سطح برای الگوسازی بازشدنی ترک تحت توزیع فشار من شخص، رابطه‌ی رشد ترک با استفاده از حد ریشه‌ی دوم در رأس^۶ برای بازشدنی ترک و همچنین معیار رشد ترک با استفاده از عامل شدت تنش^۷ ($K_{IC} = K_I$) مسئله تحلیل شد.

در سال ۱۹۸۸^[۱۰] نیز راه حل مربوط به ترک در حالت تنش مسطح توسعه داده شده که شکل ساده‌تری از معادله‌ی پیوستگی در ناحیه‌ی رأس ترک بود. معادلات به روش متغیر متشابه^۸ با مختصات مکانی مقیاس و با طول ترک واقعی تحلیل شدند. همچنین در دهانه‌ی ترک^۹ با فشار فرضی ثابت، سختی محیط به دو صورت

الگوسازی و تحلیل مسائل، شامل رشد و انتشار ترک‌های هیدرولیکی به دلیل اندرکش غیرخطی از درجه‌ی بالا بین سیال و محیط (مانند سنگ یا خاک)، وجود تکینه بودن معادلات تنش در نوک ترک و همچنین شرایط مرزی پیش‌رونده بسیار پیچیده است. بررسی با روش‌های تحلیلی و یا شبیه تحلیلی بر روی یک ترک با هندسه‌ی ساده (ترک‌های دو بعدی KGD، ۱ ساعی^۲ و PKN^۳ در یک سنگ همگن با تنش بر جای یکنواخت به طبیعت مدل سازی ریاضی مسئله بر می‌گردد.^[۱] و ممکن است برای دستیابی به چنین حل‌هایی، نیاز به فرض کردن رشد ترک هیدرولیکی در یک رژیم خاص باشد. برای اطلاعات بیشتر در مورد انواع هندسه‌ی ترک‌ها به رساله‌ی عسگری^[۱۶، ۲۰] مراجعه شود. رژیم‌ها براساس مکانیزم هدر رفت انرژی نامگذاری می‌شوند که مهم‌ترین آن‌ها در شکست هیدرولیکی عبارت‌اند از: ۱. رژیم سختی که بیشترین هدر رفت انرژی تولید شده ناشی از تزریق سیال، مربوط به بزرگی پارامتر سختی محیط و سیستم است؛ و ۲. رژیم گرانزوی، که غالباً انرژی ورودی، ناشی از اصطکاک بین سیال و سطوح ترک به

* نویسنده مسئول

تاریخ: دریافت ۲۳/۱/۱۳۹۶، اصلاحیه ۲۲/۵/۱۳۹۶، پذیرش ۷/۶/۱۳۹۶.

DOI:10.24200/J30.2018.1991.2094

رشد ترک PKN در رژیم گرانزوی با سختی کم و چگونگی رشد نوک ترک (PKN) در رژیم سختی مجهول باقی مانده است. اخیراً کارهای اندکی در زمینه‌ی ذکر شده با درنظرگرفتن سختی جانبی انجام شده است.^[۲۰-۲۳] ولی هنوز ابهاماتی در چگونگی رشد ترک PKN در نوک آن وجود دارد.

۲. فرمول بندی ریاضی

۱.۲. تعريف مسئله

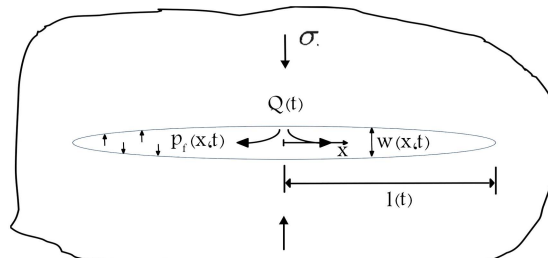
مطابق با شکل ۱، ترک هیدرولیکی KGD به طول $\ell(t)$ در یک محیط سنگی شکننده با مدل یانگ E ، ضریب پواسون v و چقرمگی K_{IC} در نظر گرفته شده است.

به دلیل تقارن ترک مذکور، نیمی از مدل در تحلیل منظور می‌شود. همچنین سیال با گرانزوی μ و با دبی $Q(t)$ تزریق می‌شود که تزریق آن باعث فشار داخلی $P_f(x, t)$ در سطوح ترک می‌شود. با توجه به اینکه محیط تحت تنش محدودکننده σ قرار دارد، در نتیجه فشار خالص در داخل ترک برابر با $\sigma - P(x, t) = P_f(x, t) - \sigma$ است. تئوری مکانیک شکست کشسان خطی (LEFM)^[۱۹] برای تعیین بازشدگی ترک $w(x, t)$ ، فشار خالص $P(x, t)$ و رشد ترک $\ell(t)$ بر حسب زمان t و مختصات محلی x استفاده می‌شود.

۲.۲. فرضیات مسئله

فرضیات اصلی برای الگوی در نظر گرفته شده در پژوهش حاضر، به این صورت خلاصه شده است:

- ترک در تمام لحظات کاملاً از سیال پر شده است و هیچ‌گونه پس‌افتدگی^[۱۷] بین سیال و نوک ترک وجود ندارد.
- محیط به صورت کشسان، همگن و همچنین نفوذناپذیر فرض شده است و اتفاف سیال در فرایند تزریق ناشی از نشت وجود ندارد.
- به دلیل وجود فشار هیدرولیکی سیال در سطوح ترک و ناچیز بودن تنش برشی در سطوح مذکور، مود شکست، کششی فرض شده است.
- فشار سیال در طول ترک ثابت نیست. درواقع، فشار با یک معادله کشسانی انگرالی به میزان جابه جایی منوط می‌شود. بنابراین تحلیل همبسته بوده و مسئله به صورت هیدرومکانیکی است.
- انتشار ترک در قالب مکانیک شکست، خطی توصیف می‌شود. در این صورت معیار رشد ترک با برابر قرار دادن چقرمگی محیط با عامل شدت تنش در نوک ترک



شکل ۱. مدل شکست هیدرولیکی در حالت کرنش صفحه‌یی (ترک KGD).

در نظر گرفته شد: حالت اول) در حل آن با فرض سختی صفر^[۱]، رأس ترک با شکل نوک تیز و همچنین فاصله‌یی بین جلوی سیال و نوک ترک (پس‌افتدگی سیال) پیش‌بینی شد، حالت دوم) با فرض محدود سختی محیط، هیچ فاصله‌یی بین جلوی سیال و نوک ترک در نظر گرفته نشد. با توجه به حل حالت دوم، شکل نوک ترک گرد و فشار سیال در نوک محدود شد که ناسازگار با معادله‌ی روانسازی است.

به دنبال روش اشاره شده اخیر^[۱۱] در سال ۱۹۹۶^[۱۱] راه حل خودمنشابه دیگری برای حالت مجانبی سختی صفر معرفی شد که براساس روشی با نام حل نوک مجانبی^[۱۱] (SCR) بود. در روش مذکور رفتار مجانبی بازشدگی و فشار در نوک ترک تشریح شده است. اگرچه روش عددی اخیر^[۱] برای حل مسئله نزدیکی رأس ترک تشریح شده است. بازی اینکه می‌توانیم از چقرمگی یا سختی بالای بازی‌بینی شد، ولی بسیاری از پژوهشگران برای ساده‌تر شدن تحلیل مسئله، آن را به صورت یکی از رژیم‌های سختی (هدرفت انرژی ناشی از چقرمگی یا سختی بالای سنگ)،^[۱] یا گرانزوی (هدرفت انرژی ناشی از گرانزوی بالای سیال)،^[۱۵, ۱۶] در نظر گرفتند.

همچنین در سال ۲۰۰۲^[۱۶] راه حل خودمنشابه دیگری برای مسئله گسترش ترک سکه‌یی شکل در محیط کشسان نفوذناپذیر با سختی صفر و سیال نیوتونی استفاده شد که براساس روش خودمنشابه اخیر^[۱] بود، با این مفهوم که در راه حل مورد نظر فشار و بازشدگی به صورت یک سری از چندجمله‌یی ژاکوبی بیان می‌شود که ضرایب سری‌های ذکر شده با هم فرق می‌کنند. البته راه حل مذکور با راه حل اخیر^[۱۱] فرق می‌کرد و هم‌گرایی عددی روش اشاره شده به طرز چشم‌گیری افزایش پیدا کرد (برای جزئیات بیشتر به مراجع [۱۷, ۱۸] مراجعه شود). به طور خلاصه، برای حل در مقایسه گرانزوی، یک روش نیمه تحلیلی در سال ۱۹۸۵^[۱] ارائه شد و بعدها برای ترک^[۱۰, ۱۲] KGD و همچنین برای ترک شعاعی^[۱۶] توسعه داده شد. برخی از بررسی‌های اخیر فقط برای محدوده‌ی $1 \leq \frac{\mu Q_e E^{1/3}}{K^4} = \mathcal{K}$ ^[۱۲] (رژیم گرانزوی)^[۱۲] اعتبار دارد که در آن μ گرانزوی مؤثر، Q_e چقرمگی مؤثر، E' دبی ورودی و مدل کشسانی محیط است.

همچنین در سال ۲۰۰۰^[۱۸] یک راه حل صریح دیگر برای انتشار ترک هیدرولیکی دو بعدی در رژیم سختی ارائه شد که در آن راه حل بازشدگی ترک با استفاده از حد ریشه‌ی دوم و فشار در نوک ازتابع تکینگی لگاریتمی^[۱۳] به صورت همبسته با دیگر معادلات حاکم تعیین و فرض شد که در تحلیل مذکور، انرژی اتلافی ناشی از جریان سیال گرانزوی در داخل ترک در مقایسه با انرژی اتلافی ناشی از سختی سنگ ناچیز است. به نظر می‌رسد که اعتبار راه حل اخیر در محدوده‌ی حل یعنی محدوده‌ی $4 \geq \mathcal{K}$ (رژیم سختی)^[۱۴] است. اگرچه در ادامه‌ی راه حل مذکور، یک راه حل اصلاحی برای حل در رژیم سختی - گرانزوی (یعنی در محدوده‌ی $4 \leq \mathcal{K} \leq 15$)^[۱] ارائه شده است.^[۱] ولی همچنان حل در محدوده‌ی مذکور، اعتبار کافی ندارد.

در نوشتار حاضر، با توسعه‌ی روش اغتشاش به کمک برخی از تبدیلات اویلاری، اعتبار حل در محدوده‌ی $4 \leq \mathcal{K} \leq 1$ را نیز تضمین می‌کند. برای اعتبارسنجی در پژوهش حاضر، از راه حل عددی آداچی^[۱] (۲۰۰۱)^[۱۳] استفاده شده است. جدول ۱، خلاصه‌یی از سیر تحول و برخی از کارهای تحلیلی و نیمه تحلیلی بر روی ترک‌های دو بعدی KGD، شعاعی و PKN در حوزه‌ی مذکور از پژوهش را نشان می‌دهد. پژوهش‌های اشاره شده، پایه و معیاری را برای شبیه‌سازی عددی فراهم می‌سازند.

هر چند کارهای زیادی در محدوده‌ی مقایسه گرانزوی با سختی کوچک در ترک‌های دو بعدی KGD و شعاعی انجام شده است.^[۱۹, ۱۶] اما همچنان چگونگی

جدول ۱. برخی از پژوهش‌های مهم انجام شده در مورد انتشار ترک هیدرولیکی در یک محیط نفوذناپذیر با تزریق سیال نیوتینی و با نزدیکی اثبات برای انواع ترک‌ها.

نوع مقیاس و رزیم	ترک دو بعدی KGD	ترک شعاعی Radial	PKN ترک
گرانزوی با سختی صفر	آدچی (۱) [۲۰۰] (۱۳)	دتوزنی و همکاران (۷) [۲۰۰] (۱۶)	نوردگرن [۷] (۱۹۷۲)
سختی با گرانزوی صفر	آدچی و دتوزنی (۲) [۲۰۰] (۲۰)	ساوتسکی و دتوزنی (۱۰) [۲۰۰] (۲۴)	کوالیشن و همکاران [۲۶]
سختی با گرانزوی کوچک	گاراگاشه و دتوزنی (۵) [۲۰۰] (۱۹)	بانگر و همکاران (۷) [۲۰۰] (۲۸)	کمپ [۲۵] (۱۹۹۰)
سختی با گرانزوی کوچک	گاراگاشه و دتوزنی (۶) [۲۰۰] (۳۱)	ساوتسکی و دتوزنی (۲) [۲۰۰] (۱۶)	آدچی و همکاران (۱۰) [۲۰۰] (۲۰)
سختی با گرانزوی کوچک	گاراگاشه و دتوزنی (۶) [۲۰۰] (۲۱)	آبه و همکاران (۱۵) [۲۰۰] (۱۹)	دونتسو و پیرس [۲۳] (۲۰۰۷)
سختی با گرانزوی و مانند کوچک	گاراگاشه و دتوزنی (۶) [۲۰۰] (۱۶)	ساوتسکی (۲) [۲۰۰] (۱۶)	-
حد وسط گرانزوی - سختی	در نوشیار حاضر با استفاده از روش شبه تحلیلی توسعه‌یافته و مقایسه با روش عددی:	ساوتسکی (۲۰۰۰) [۲۰۰] (۲۰)	-
	آدچی (۱) [۲۰۰] (۱۳)، آدچی و دتوزنی (۲) [۲۰۰] (۲۷)		

معادله‌ی انتگرالی تکینه است. فرض رابطه‌ی مذکور این است که ترک به شکل شبه استاتیکی رشد می‌کند.^[۲۶]

$$w(x, t) = \frac{4}{\pi E'} \int_0^l G\left(\frac{x}{\ell}, \frac{x'}{\ell}\right) P(x', t) dx',$$

$$G(\xi, \xi') = \ln \left| \frac{\sqrt{1-\xi^2} + \sqrt{1-\xi'^2}}{\sqrt{1-\xi^2} - \sqrt{1-\xi'^2}} \right| \quad (1)$$

۲.۳.۲. پیوستگی و بقای جرم

جریان سیال در ترک با قانون بقای جرم و اندازه‌ی حرکت مدل می‌شود. در این حالت حجم سیال ورودی یا تزریقی ($V(t)$) برابر است با حجم بازشده‌ی ترک (رابطه‌ی ۲):

$$\frac{\partial q}{\partial x} + \frac{\partial w}{\partial t} = 0 \quad q = \int_{-w/2}^{w/2} v_x dy = vw$$

$$\frac{\partial}{\partial t} \int_x^\ell w dx = wv, \quad \int_x^\ell w dx = \frac{1}{2} V(t)$$

$$V(t) = \int_0^t Q dt = Q \cdot t = 2 \int_0^\ell w dx \quad (2)$$

که در آن‌ها، q نزدیک جریان سیال یا فلاکس عبوری، $v(x, t)$ سرعت متوسط سیال در طول ترک است و سرعت سیال در نوک ترک ($x = \ell, t = t$) برابر با سرعت رشد در نوک ترک dl/dt است؛ در صورتی که مقدار پس افتادگی سیال صفر باشد.

۲.۳.۳.۲. معادله‌ی حرکت سیال

با فرضیات اشاره شده، معادله‌ی تاویر - استوکس برای جریان یک بعدی آرام و سیال غیرقابل تراکم به صورت رابطه‌ی ۳ در می‌آید:^[۲۸, ۲۷]

$$\frac{\partial v_x}{\partial t} + \frac{1}{2} \frac{\partial v_x^2}{\partial x} = -\frac{1}{\rho} \left(\frac{\partial P_f}{\partial x} + \frac{12\mu v_x}{w} \right) \quad (3)$$

با صرفنظر کردن از ترم سمت چپ معادله‌ی روانسازی^{۱۹} رابطه‌ی ۳ به معادله‌ی پویزنی^{۲۰} به صورت رابطه‌ی ۴ در می‌آید:^[۲۹]

$$v = -\frac{w}{\mu'} \frac{\partial P}{\partial x}, \text{ or } q = -\frac{w}{\mu'} \frac{\partial P}{\partial x} \quad (4)$$

مشخص می‌شود. در فرض LEFM از تغییرشکل‌های غیرکشسان در ناحیه‌ی مستعد جلوی ترک^{۱۸} صرفنظر می‌شود، چرا که در محیط شکننده، ناحیه‌ی مذکور بسیار کوچک است. لازم به ذکر است که در نظر گرفتن پس افتادگی سیال و ناحیه‌ی مستعد جلوی ترک، عملکرد مشابهی دارند. به طور کلی معمولاً آثار ناحیه‌ی ذکر شده در رشد ترک به دلیل کوچک بودن ابعاد آن در مقایسه با مقادیر گسترش ترک و بزرگی تنش برخا در نظر گرفته نمی‌شود و یا آثار آن به صورت سختی مؤثر اعمال می‌شود.^[۲۵]

- فرض می‌شود که نسبت بازشده‌ی ترک به طول ترک بسیار کوچک است، در نتیجه می‌توان جریان سیال را یک بعدی در نظر گرفت. همچنین با توجه به عدد رینولدزکم و یا سیار بزرگ، جریان سیال آرام فرض می‌شود.

هیچ‌گونه تغییر حالتی در سیال رخ نمی‌دهد و سیال همواره نیوتینی و تراکم ناپذیر فرض شده است.

- به دلیل کوچک بودن شعاع چاه نسبت به طول ترک از آثار آن صرف‌نظر می‌شود.
- رشد ترک در جهت تنش بیشینه و امتداد چاه، موازی با تنش کمینه است.
- فرضیات اضافی و خاص دیگر در روند حل هر یک از مسائل اشاره خواهد شد.

۳.۲. معادلات حاکم

در مسئله‌ی حاضر از ۳ معادله اصلی دیفرانسیلی - انتگرالی همبسته و غیرخطی در کنار شرایط اولیه و مرزی استفاده و سپس ۳ مجھول از آن محاسبه شده است. معادلات: ۱. معادله‌ی کشسانی، ۲. معادله‌ی حرکت یا بقای اندازه‌ی حرکت، ۳. معادله‌ی پیوستگی یا بقای جرم. مجھولات: ۱. طول ترک که تابعی از زمان است، ۲. بازشده‌ی ترک و ۳. فشار روی سطوح ترک که توابعی از موقعیت مکانی و زمان است. البته فراسنج سرعت و دبی سیال در طول ترک نیز به عنوان مجھول‌های ثانویه قابل تعیین است.

۳.۲.۱. معادله‌ی کشسانی

معادله‌ی کشسانی، بازشده‌ی ترک را با فشار خالص سیال داخل ترک با یک رابطه‌ی انتگرالی مربوط می‌سازد. رابطه‌ی انتگرالی به شکل رابطه‌ی ۱ و به صورت یک

که در آن $[0, \infty) \ni t \mapsto x/\ell(t)$ به ترتیب مختصات مکانی، بازشدگی ترک، فشار خالص و نیم طول مقیاس شده ترک است. لازم به ذکر است که «علامت بار» نشانه‌ی مقیاس‌سازی مجدد آن کمیت است. با بهکارگیری تغییر متغیرهای رابطه‌ی ۶، معادلات ۱ الی ۵ به این صورت درمی‌آیند:

- معادله‌ی بقای جرم (رابطه‌ی ۷):

$$\begin{aligned} & \frac{t\dot{V}}{V} \int_{\xi}^{\ell} \bar{\Omega} d\xi + \frac{t\dot{L}}{L} \xi \bar{\Omega} \\ & + t \int_{\xi}^{\ell} \left[\dot{\bar{\Omega}} + \frac{\dot{\gamma}}{\gamma} \left(\bar{\Omega} - \xi \frac{\partial \bar{\Omega}}{\partial \xi} \right) \right] d\xi = \bar{\Omega} \vartheta \\ & \int_{\xi}^{\ell} \bar{\Omega} d\xi = \frac{1}{2\gamma} \end{aligned} \quad (7)$$

- معادله‌ی مومنت (رابطه‌ی ۸):

$$-\frac{\partial \Pi}{\partial \xi} = G_{\mu} \frac{\bar{\vartheta}}{\bar{\Omega}} \quad (8)$$

- معادله‌ی کشسانی و معیار انتشار ترک (رابطه‌ی ۹):

$$\begin{aligned} \bar{\Omega}(\xi, t) &= L^{-1}\{\Pi\}(\xi, t) \\ &= \frac{1}{\pi} \int_{\xi}^{\ell} G(\xi, \xi') \Pi(\xi', t) d\xi' \\ \lim_{\xi \rightarrow 1} (1-\xi)^{-\gamma} \bar{\Omega} &= G_k \gamma^{-\gamma} \end{aligned} \quad (9)$$

که در معادلات ۸ و ۹، G_k و G_{μ} به صورت رابطه‌ی ۱۰ بیان می‌شوند:

$$G_k = \frac{K'}{E'} \frac{L^{\gamma}}{V}, \quad G_{\mu} = \frac{\mu'}{E'} \frac{L^{\gamma}}{tV^{\gamma}} \quad (10)$$

پارامترهای مذکور بی‌بعد هستند و به آن پارامترهای مقیاس شده می‌گویند (برای توضیحات بیشتر در مورد پارامترها و روابط بین آن‌ها می‌توان به مرجع [۱۳] رجوع کرد). همان‌طور که در قبل اشاره شد، انرژی ورودی ناشی از تزریق سیال به واسطه‌ی رشد ترک به دو صورت اتفاق می‌شود: ۱. از طریق گرانزوی سیال، ۲. از طریق چقرمگی محیط. اگر انرژی بیشتری به واسطه‌ی بالا بودن گرانزوی سیال نسبت به مقدار سختی محیط اتفاق شود، در این صورت رزیم گرانزوی حاکم است و G_u برابر ۱ در نظر گرفته می‌شود و فراسنج‌های باقیمانده ۲۱ نیز با فرض ذکر شده تعیین می‌شوند (به جدول ۲ مراجعه شود). اگر بیشتر انرژی ورودی ناشی از بزرگی سختی محیط اتفاق شود، آنگاه رزیم سختی حاکم است که در این صورت G_k برابر ۱ است. با حذف یکی از کمیت‌ها در معادلات بی‌بعد شده، می‌توان مسئله را به صورت خاص بررسی کرد. درنهایت، $t\dot{L}/L$ و $t\dot{\gamma}/\gamma$ در معادلات ۷ را می‌توان با اپراتور زمان مطابق با بهکارگیری رابطه‌ی ۱۱ جایگزین کرد:

$$t \frac{\partial}{\partial t} = \left(\frac{t\dot{G}_k}{G_k} \right) G_k \frac{\partial}{\partial G_k} + \left(\frac{t\dot{G}_{\mu}}{G_{\mu}} \right) G_{\mu} \frac{\partial}{\partial G_{\mu}} \quad (11)$$

که در آن، علامت نقطه در بالای فراسنج‌های مقیاسی به منظور مشتق آن نسبت به زمان t است. دو نوع مقیاس اشاره شده اخیر، شکل‌های خاصی از بیان یک دسته و یک نوع معادلات یکسان هستند. در واقع مقیاسی برای حل مسئله به کار

۴.۳.۲. شرایط مرزی، اولیه و معیار انتشار ترک

نخ جریان سیال یا فلاکس عبوری q و بازشدگی ترک w در نوک ترک $x = \pm \ell$ در تمام لحظات برابر صفر است. با استفاده از شرط $w = 0$ در نوک ترک داریم:

$w = \pm \ell$ ، $x = 0$ شرایط مذکور در صورتی اعتبار دارد که پس افتادگی سیال نسبت به نوک ترک وجود نداشته باشد.

در محل تزریق $x = 0$ نخ جریان سیال یک نایپوستگی وجود دارد که می‌توان مسئله را به صورت متقاضن فرض کرد، یعنی: $\lim_{x \rightarrow 0} q(x, t) = \frac{Q}{\gamma}$ که در آن، Q ، دبی سیال، با نخ ثابت تزریق می‌شود. از آنجایی که $w > 0$ است، در نتیجه گرادیان و تغییرات فشار نسبت به طول در محل تزریق به صورت $\frac{\partial P}{\partial x} \Big|_{x=0+} < \frac{\partial P}{\partial x} \Big|_{x=0-}$ بیان می‌شود. شرایط اولیه مسئله به این صورت است: $w = 0$ ، $P = 0$ ، $t = 0$ ، $\ell = 0$ ، $\bar{\Omega} = 0$. مطابق با مکانیک شکست کشسان خطی برای مود شکست اول، بازشدگی ترک در رأس با عبارت حدی ریشه‌ی دوم بیان می‌شود (رابطه‌ی ۵):

$$w = \frac{K'}{E'} \sqrt{\ell - x} + O[(\ell - x)^{1/2}], \quad x \rightarrow \pm \ell \quad (5)$$

که در آن، E' ، μ' و K' به این صورت هستند:

$$E' = \frac{E}{1 - v^{\gamma}}, \quad \mu' = 12\mu, \quad K' = 4 \left(\frac{2}{\pi} \right)^{1/2} K_I$$

شرط اضافی دیگری برای معیار رشد ترک نیاز است. با فرض اینکه ترک به شکل شبیه استاتیکی گسترش می‌یابد، این شرط به صورت $F = K_I - K_{IC}$ بیان می‌شود که در آن K_{IC} چقرمگی محیط است. اگر مقدار F مساوی صفر باشد، ترک در حالت تعادل حدی رشد خواهد کرد (ملک در پژوهش حاضرا) و اگر F بزرگ‌تر از صفر باشد، ترک به صورت دینامیکی رشد خواهد کرد و درنهایت اگر مقدار F کوچک‌تر از صفر باشد، در این صورت ترک رشد نمی‌کند و پایدار است.

۳. مقیاس‌سازی

یک مقیاس‌سازی مناسب برای حل یک مسئله باید دو ویژگی داشته باشد: اولاً، باید درک فیزیکی از مسئله انتشار ترک را فراهم سازد و ثانیاً متغیرهای مسئله را کاملاً بی‌بعد سازد. به طور کلی، تحلیل ابعادی منجر به فشرده‌سازی، کاهش پیچیدگی و کاستن تعداد متغیرهای مؤثر بک دسته معادلات دیفرانسیل و انتگرالی حاکم در یک پدیده‌ی معین فیزیکی می‌شود. اگر پدیده‌ی n_1 به متغیر بعد دارستگی داشته باشد، تحلیل ابعادی تعداد متغیرها را به n_2 متغیر بی‌بعد کاهش می‌دهد، که این کاهش به پیچیدگی مسئله سنتگی دارد. به طور کلی هدف از بی‌بعد کردن یا مقیاس‌گذاری، کاهش متغیرها و گروه‌بندی آن‌ها به صورت بی‌بعد است.

مقیاس‌سازی در پژوهش حاضر بر پایه‌ی پژوهش‌های اولیه‌ی دورنونی، [۱۱] است: برای ساده‌سازی حل دسته‌ی معادلات ۱ الی ۵، برخی متغیرها به صورت روابط ۶ تغییر داده می‌شوند که سبب بی‌بعد و مقیاس شدن متغیرها می‌شود که نتیجتاً حل مسئله ساده‌تر می‌شود: [۲۱-۲۳، ۳۷-۴۲، ۶].

$$\begin{aligned} w(x, t) &= \varepsilon(t) L(t) \Omega(\xi, t), \quad \ell(t) = L(t) \gamma(t), \\ P(x, t) &= \varepsilon(t) E' \Pi(\xi, t), \quad \varepsilon(t) = L^{-1}(t) V(t), \\ v(x, t) &= t^{-1} L(t) \vartheta(\xi, t), \quad \bar{\vartheta}(\xi, t) = \vartheta(\xi, t)/\gamma(t), \\ \bar{\Omega}(\xi, t) &= \Omega(\xi, t)/\gamma(t) \end{aligned} \quad (6)$$

جدول ۲. فراسنج کوچک و طول مقیاس شده برای ۲ رژیم سختی و گرانزوی و مقادیر فراسنج های تغییر یافته.

کمیت	نوع مقیاس و رژیم	فراسنجد کوچک (ε)	طول مقیاس شده (L)	سختی (G_k)	گرانزوی (G_μ)
$K = \frac{\mu' Q_{\cdot} E'^{\tau}}{K'^4}$	سختی	$\left(\frac{E' Q_{\cdot} t}{K'}\right)^{\frac{1}{\tau}}$	$\left(\frac{K'^4}{E'^{\tau} Q_{\cdot} t}\right)^{\frac{1}{\tau}}$	(k)	
1	گرانزوی (M)	$\left(\frac{E' Q_{\cdot} t^{\tau}}{E'^{\tau} \mu' Q_{\cdot}}\right)^{\frac{1}{\tau}}$	$\left(\frac{E' Q_{\cdot} t^{\tau}}{\mu'}\right)^{\frac{1}{\tau}}$		

$$f(\xi) = \sum_{m=0}^{\infty} M^m f_m(\xi),$$

$$f(\xi) = \{\bar{\Omega}(\xi), \Pi(\xi), \gamma\} \quad (15)$$

برای راحتی کار، مجھولات و یا همان دسته جواب های مقیاس شده به صورت

f نمایش داده می شوند. با بدگیری معادله ۱۱، معا دلات ۷ الی ۹ در مقیاس سختی به صورت معادلات ۱۶ الی ۱۸ بدست می آیند:

$$\int_{\xi}^1 \bar{\Omega} d\xi + \frac{2}{3} \xi \bar{\Omega} = \bar{\Omega} \bar{\vartheta} \int_{\xi}^1 \bar{\Omega} d\xi = \frac{1}{2\gamma}, \quad (16)$$

$$\frac{\partial \Pi}{\partial \xi} = -M \frac{\bar{\vartheta}}{\bar{\Omega}}, \quad (17)$$

$$\bar{\Omega}(\xi, t) = L^{-1} \{ \Pi \} (\xi, t),$$

$$\lim_{\xi \rightarrow 1} (1 - \xi)^{-1/2} \bar{\Omega} = \gamma^{-1/2}. \quad (18)$$

با جایگذاری رابطه ۱۵ در معادلات ۱۶ الی ۱۸ و مرتب کردن آنها براساس

ضرایب $1, M, M^2, M^3$ و ... در مقیاس سختی ($1 = G_k$)، روابط ۱۹ الی

۲۲ را خواهیم داشت:

-- تم صفر ($f_0(\xi)$) --

$$1: \int_{\xi}^1 \bar{\Omega}_0 d\xi + \frac{2}{3} \xi \bar{\Omega}_0 = \bar{\Omega}_0 \bar{\vartheta}_0,$$

$$\gamma_0^{-1} = 2 \int_{\xi}^1 \bar{\Omega}_0 d\xi \frac{\partial \Pi_0}{\partial \xi} = 0,$$

$$\bar{\Omega}_0(\xi) = L^{-1} \{ \Pi_0 \} (\xi),$$

$$\lim_{\xi \rightarrow 1} (1 - \xi)^{-1/2} \bar{\Omega}_0 = \gamma_0^{-1/2} \quad (19)$$

-- تم اول ($f_1(\xi)$) --

$$M: \int_{\xi}^1 \bar{\Omega}_1 d\xi + \frac{2}{3} \xi \bar{\Omega}_1 =$$

$$= \bar{\Omega}_1 \bar{\vartheta}_0 + \bar{\Omega}_0 \bar{\vartheta}_1,$$

$$\gamma_1 = -\gamma_0^{-1} \int_{\xi}^1 \bar{\Omega}_1 d\xi,$$

$$\frac{\partial \Pi_1}{\partial \xi} = -\frac{\bar{\vartheta}_0}{\bar{\Omega}_0},$$

$$\bar{\Omega}_1(\xi) = L^{-1} \{ \Pi_1 \} (\xi),$$

$$\lim_{\xi \rightarrow 1} (1 - \xi)^{-1/2} \bar{\Omega}_1 = -\frac{1}{2} \gamma_1 \gamma_0^{-3/2}. \quad (20)$$

گرفته می شود که اثر فراسنج مربوط به آن مقیاس غالب باشد. مقیاس کردن چیزی جزء پیوند بین فراسنج های اساسی مسئله نیست، بنابراین دور از انتظار نیست که فراسنج های بی بعد و مقیاس شده مطابق با رابطه ۱۲ در رژیم های مختلف با هم ارتباط داشته باشند.

همچنین می توان ارتباطی بین مقیاس های مختلف طولی و فراسنج های کوچک در دو رژیم یافت (روابط ۱۳):

$$\frac{L_M}{L_k} = K^{\frac{1}{\tau}} = M^{-\frac{1}{\rho}}, \quad \frac{\varepsilon_M}{\varepsilon_k} = K^{\frac{1}{\tau}} = M^{-\frac{1}{\tau}} \quad (13)$$

۴. ایده و روش حل

در پژوهش حاضر، از روش اغتشاش (PM)^[۲۲] برای بافتن جواب تقریبی انتشار صفحه بی ترک هیدرولیکی استفاده می شود. روش اغتشاش موقعیت برای حل معادلات غیرخطی به کار می رود که یک فراسنج کوچک در معادلات وجود داشته باشد. با توجه به وجود دو فراسنج بی بعد G_k و G_μ در معادلات غیرخطی، روش اغتشاش به کمک مثلث خیام - پاسکال^[۲۳] مطابق با معادله ۱۴ توسعه داده شد:

$$f(\xi, G_i) = \{\bar{\Omega}(\xi, G_i), \Pi(\xi, G_i), \gamma(G_i)\}, i = k, \mu, \rho$$

$$f(\xi, G_i) = f_0(\xi) + \sum_{n=1}^{\infty} \sum_{\substack{i_1 \geq i \geq i_2 \geq \dots \geq i_n \\ i_1, i_2, \dots, n = 1, 2, \dots, or k, \mu, \rho}} \left(G_{i_1} G_{i_2} \dots G_{i_n} f^{(i_1, i_2, \dots, i_n)}(\xi) \right) \quad (14)$$

۵. حل در مقیاس سختی با نزخ تزریق ثابت

در بخش حاضر، به حل مسئله ترک هیدرولیکی در دو حالت اشاره شده با شرط کرنش صفحه بی (KGD) و شعاعی در مقیاس سختی و با گرانزوی کوچک $1 \ll M$ پرداخته شده است. حل در رژیم سختی از دو منظر، اهمیت کاربردی دارد: ۱) استخراج گرمای از مخازن زمین گرمایی توسط تزریق سیال با گرانزوی کم انجام می شود،^[۱] که ارتباط تحلیل این الگو با کاربرد شکست هیدرولیکی را در رژیم سختی تضمین می کند. ۲) در مقیاس های آزمایشگاهی، اغلب رژیم سختی حاکم است و معمولاً اثر گرانزوی ناچیز است، حتی اگر در آزمایش از یک سیال با گرانزوی زیاد استفاده شود. در مقیاس ذکر شده، $1 = G_k$ است و متعاقباً حل در مقیاس سختی، با استفاده از روش اغتشاش به پارامتر گرانزوی $G_\mu = M$ بستگی دارد. بنابراین رابطه ۱۴ در حل مقیاس سختی به صورت رابطه ۱۵ کاهش می یابد:

-- ترم دوم ($f_T(\xi)$)

$$\gamma_1 = -\frac{\frac{4}{\pi^{1/2}} \ln \left(\frac{1 + \sqrt{1 - \xi^2} + \sqrt{1 - \xi^2}}{1 - \sqrt{1 - \xi^2} - \sqrt{\xi^2}} \right)}{\frac{32(1 + 6 \ln 2)}{9\pi^{5/2}}, \quad (24)$$

ترم های (ξ) و ($f_T(\xi)$) به ترتیب ترم های مرتبه ای صفر و مرتبه ای اول هستند که در مرجع [۱] به تفسیر در مورد حل آن ها بحث و بررسی شده است. برای تعیین ضرایب ترم های بالاتر از سطح ۱۵، مثلاً برای مقادیر $m \geq 2$ ، محاسبه ای ترم های ذکر شده به دلیل برخورد با انتگرال های تکینه، به روش تحلیلی بسیار پیچیده و غیرممکن به نظر می رسد؛ بنابراین در پژوهش حاضر، انتگرال های مذکور به روش عددی محاسبه و سپس برای تعیینتابع حاصل از انتگرال، از روش درون یابی ۲۳ استفاده شده است. در نهایت، با تعیین ترم های ذکر شده، میزان بازشدنگی، طول رشد و فشار بر روی ترک تعیین شده است. به طور مثال بازشدنگی مقیاس شده از رابطه ۲۵ تعیین می شود:

$$\Omega(\xi) = \sum_{m=0}^{\infty} M^m \bar{\Omega}_m(\xi) \times \sum_{m=0}^{\infty} M^m \gamma_m \quad (25)$$

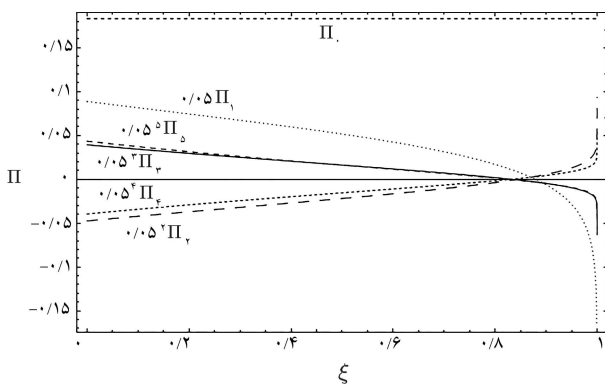
۶. بحث و نتایج

مقادیر فشار خالص سیال در نقطه ای محل تزریق ترک $\Pi_{[m]}$ ، بر حسب ترم های مختلفی از مقادیر m در جدول ۳ ارائه شده است. اگرچه جدول ۳، یک افزایش در مقادیر فشار با افزایش درجه ای m را در محل تزریق نشان می دهد، ولی به دلیل فرض کوچک ماندن فراسنج گرانزوی، توان مرتبه ای m آن ها بسیار کوچک است و آثار ترم های بالاتر به تناسب کاهش می یابد. شکل ۲، ترم های مرتبه ای صفر و مرتبه های اول تا سوم فشار خالص سیال داخل ترک (II)، را در طول پروفایل ترک نشان می دهد.

جدول ۳. ضرایب محاسبه شده از ترم $O(M^m)$ در $m \rightarrow \{0, 1, \dots, 5\}$ در معادله ای ۱۵ از فشار خالص مقیاس شده در محل تزریق سیال $\Pi_{[m]}$

$\Pi_{[m]}$	m	$\Pi_{[m]}$	m
۳۱۴/۹۴۵۷۶۳	۳	۰/۱۸۳۰۷۴	۰*
-۶۳۱۱/۳۵۱۴	۴	۱/۷۷۵۲۱۹	۱
۱۳۹۴۰/۶۹۸۰	۵	-۱/۸۹۴۰۴۰۰	۲

* این مقدار در مرجع [۱] محاسبه شده است.



شکل ۲. ترم های مرتبه ای صفر و بدون ماند مرتبه های اول تا پنجم فشار خالص سیال داخل ترک (II).

$$\mathcal{M}^r : \int_{\xi}^1 \bar{\Omega}_r d\xi + \frac{2}{3} \xi \bar{\Omega}_r \\ = \bar{\Omega}_r \bar{\vartheta}_r + \bar{\Omega}_1 \bar{\vartheta}_1 + \bar{\Omega}_0 \bar{\vartheta}_0$$

$$\gamma_2 = \frac{3\gamma_1^r}{2\gamma_0^r} - \gamma_0^r \int_{\cdot}^1 \bar{\Omega}_1 d\xi,$$

$$\frac{\partial \Pi_r}{\partial \xi} = \frac{-\bar{\vartheta}_1 \bar{\Omega}_0 + 2\bar{\vartheta}_0 \bar{\Omega}_1}{\bar{\Omega}_0^r}$$

$$\bar{\Omega}_r(\xi) = L^{-1}\{\Pi_r\}(\xi),$$

$$\lim_{\xi \rightarrow 1} (1 - \xi)^{-1/2} \bar{\Omega}_r = \frac{1}{\Lambda} \left(3\gamma_1^r - 4\gamma_0^r \gamma_2 \right) \gamma_0^r^{-5/2}. \quad (21)$$

 -- ترم سوم ($(f_T)(\xi)$)

$$\mathcal{M}^r : \int_{\xi}^1 \bar{\Omega}_r d\xi + \frac{2}{3} \xi \bar{\Omega}_r \\ = \bar{\Omega}_r \bar{\vartheta}_0 + \bar{\Omega}_2 \bar{\vartheta}_1 + \bar{\Omega}_1 \bar{\vartheta}_2 + \bar{\Omega}_0 \bar{\vartheta}_3,$$

$$\gamma_2 = -\frac{2\gamma_1^r}{\gamma_0^r} + \frac{3\gamma_1 \gamma_2}{\gamma_0^r} - \gamma_0^r \int_{\cdot}^1 \bar{\Omega}_2 d\xi,$$

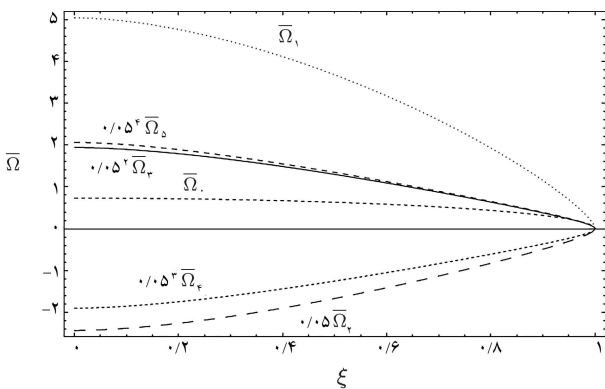
$$\frac{\partial \Pi_r}{\partial \xi} = \frac{-\bar{\vartheta}_2 \bar{\Omega}_0^r + 2\bar{\vartheta}_0 \bar{\Omega}_2}{\bar{\Omega}_0^r} \\ + \frac{-2\bar{\vartheta}_0 \bar{\Omega}_1^r + 2\bar{\vartheta}_1 \bar{\Omega}_0 \bar{\Omega}_2}{\bar{\Omega}_0^r}$$

$$\bar{\Omega}_r(\xi) = L^{-1}\{\Pi_r\}(\xi),$$

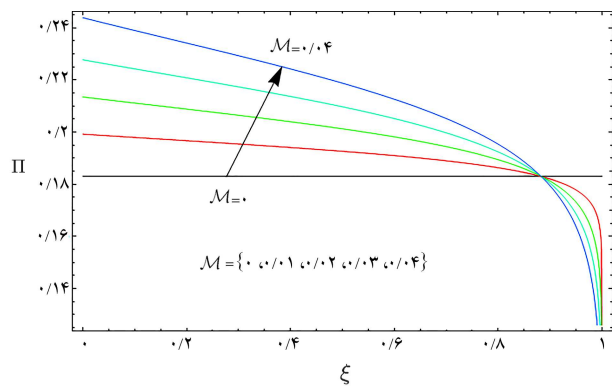
$$\lim_{\xi \rightarrow 1} (1 - \xi)^{-1/2} \bar{\Omega}_r = \frac{1}{16} \left(-5\gamma_1^r + 12\gamma_0^r \gamma_1 \gamma_2 - 8\gamma_0^r \gamma_2^2 \right) \gamma_0^r^{-\frac{7}{2}} \quad (22)$$

دسته ای معادلات انتگرالی - دیفرانسیلی اخیر به صورت متواലی از رابطه های ۱۹ الی ۲۲ حل می شوند. برای مختصه رسانی در بخش حاضر از آوردن جزئیات و روند حل صرف نظر شده است:

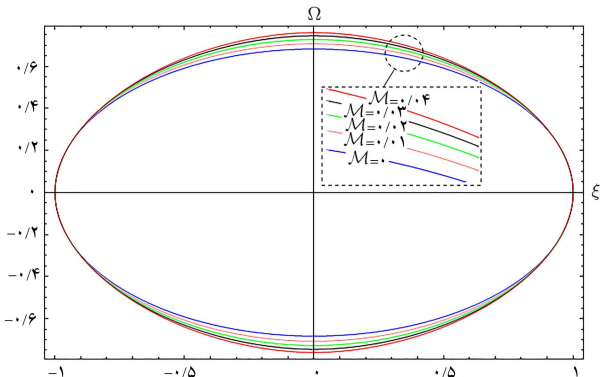
$$\begin{aligned} \bar{\Omega}_0 &= \frac{1}{2} \pi^{1/2} \sqrt{1 - \xi^2}, \\ \Pi_0 &= \frac{\pi^{1/2}}{\Lambda}, \gamma_0 = \frac{2}{\pi^{1/2}}, \\ \bar{\vartheta}_0 &= \frac{1}{6} \xi + \frac{1}{2} \frac{\cos^{-1}(\xi)}{\sqrt{1 - \xi^2}}. \\ \Pi_1 &= \frac{\Lambda}{3\pi^{1/2}} \left(\frac{1}{24} + \ln \left(4\sqrt{1 - \xi^2} \right) \right. \\ &\quad \left. - \frac{3}{4} \frac{\xi \cos^{-1}(\xi)}{\sqrt{1 - \xi^2}} \right), \\ \bar{\Omega}_1 &= \frac{\Lambda}{3\pi^{1/2}} \left(2\pi - 4\xi \sin^{-1}(\xi) \right) \\ &\quad - \frac{\Lambda}{3\pi^{1/2}} \left(\frac{5}{6} - \ln 2 \right) \sqrt{1 - \xi^2} \end{aligned} \quad (23)$$



شکل ۴. ترم‌های مرتبه‌ی صفر و بدون ماند مرتبه‌های اول تا پنجم بازشدگی مقیاس شده‌ی مجدد ($\bar{\Omega}$).



شکل ۳. فشار خالص سیال داخل ترک (II)، بر حسب مقادیر مختلفی از فراسنج گرانروی M .



شکل ۵. بازشدگی ترک ($\gamma \bar{\Omega} = \Omega$)، بر حسب مقادیر مختلفی از فراسنج گرانروی (M).

۷. تبدیلات اویلری و اعتبارسنجی

همان‌طور که اشاره شد، برای به کارگیری روش اغتشاش، بسط ضربی طول نیم ترک، فشار و بازشدگی در حالت مقیاس شده به صورت رابطه‌ی ۲۶ است:

$$f(\xi) = \sum_{m=0}^{\infty} M^m f_m, \quad f(\xi) = \{\bar{\Omega}(\xi), \Pi(\xi), \gamma\} \quad (26)$$

برای تعیین جملات بیشتری از بسط مذکور، باید ضربی ترم‌های بالاتر تعیین شود که محاسبه‌ی آن‌ها به دلیل برخورد با انتگرال‌های تکینه به روش تحلیلی غیرممکن است؛ بنابراین، در پژوهش حاضر آن‌ها به روش عددی محاسبه شده‌اند. لازم به ذکر است که در روش اغتشاش برای تعیین ترم‌های بالاتر نیاز به داشتن تابعی از ترم‌های پایین‌تر جواب‌هاست. لذا، برای تعیین تابع حاصل از حل عددی انتگرال، با استفاده از روش درون‌یابی، تابع مراتب پایین‌تر با درجه‌ی برابر تعیین شده است.

جدول ۴. ضرایب محاسبه شده از ترم $O(M^m)$ ، $m \rightarrow \{0, 1, \dots, 4\}$ در معادله‌ی ۱۵ از بازشدگی مقیاس شده در محل تزریق سیال $\bar{\Omega}_{[m]}$.

$\bar{\Omega}_{[m]}$	m	$\bar{\Omega}_{[m]}$	m
۷۷۸,۶۲۱۲۹۹	۳	۰,۷۳۲۲۹۶	*
-۱۵۲۲۶,۹۸۰	۴	۰,۵۱۷۵۱	۱
۳۳۰,۸۶۷,۷۰۴	۵	-۴۸,۷۲۱۸۰۲	۲

* این مقدار در مرجع [۱] محاسبه شده است.

محاسبه‌ی ضرایب ترم‌های بالاتر به دلیل پیچیدگی دسته‌ی معادلات و برخورد با انتگرال‌های تکینه به روش تحلیلی غیرممکن است؛ بنابراین، در پژوهش حاضر آن‌ها به روش عددی محاسبه شده‌اند. لازم به ذکر است که در روش اغتشاش برای تعیین ترم‌های بالاتر نیاز به داشتن تابعی از ترم‌های پایین‌تر جواب‌هاست. لذا، برای تعیین تابع حاصل از حل عددی انتگرال، با استفاده از روش درون‌یابی، تابع مراتب پایین‌تر با درجه‌ی برابر تعیین شده است.

شکل ۳، فشار خالص مقیاس شده‌ی سیال بر روی سطح ترک (II)، از حل مرتبه‌ی سه با فراسنج گرانروی مختلف $\{0, 0.01, 0.02, 0.03, 0.04\}$ در جدول ۴ ارائه شده است. همان‌طور که را نشان می‌دهد، با توجه به شکل مذکور با افزایش فراسنج گرانروی (M)، میران فشار خالص در محل تزریق افزایش یافته و در نوک آن سیر نزولی داشته است. این اثر مطابق با قاعده‌ی برنولی قابل توجیه است.^[۲]

به طور مشابه، مقادیر بازشدگی مقیاس شده در نقطه‌ی محل تزریق ترک ($\bar{\Omega}_0$)، بر حسب ترم‌های مختلفی از مقادیر m در جدول ۴ ارائه شده است. همان‌طور که مشاهده می‌شود، فرایند مشابهی همانند ترم‌های فشار، در مقادیر بازشدگی مقیاس شده در نقطه‌ی محل تزریق ترک وجود دارد. یعنی با افزایش درجه‌ی m ، مقادیر بازشدگی ذکر شده ($\bar{\Omega}_0$)، افزایش می‌یابد، ولی درنهایت آثار ترم‌های بالاتر به دلیل کوچک فرض کردن فراسنج M کاهش می‌یابد.

شکل ۴، ترم‌های مرتبه‌ی صفر، مرتبه‌های اول تا پنجم بازشدگی مقیاس شده‌ی مجدد ترک (II) را نشان می‌دهد. در تمام ترم‌های مذکور، شرط مرزی در نوک ترک (میران بازشدگی در آن نقطه برابر با صفر است) ارضاء شده است.

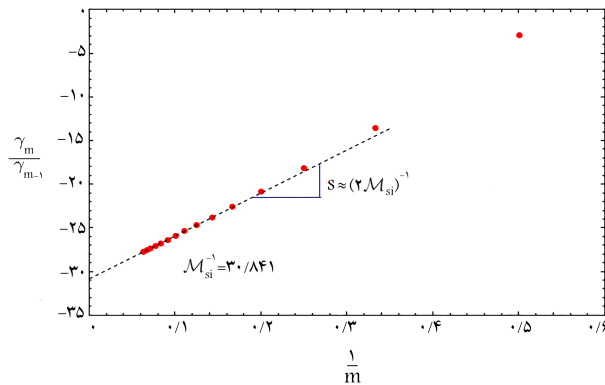
محاسبه‌ی ضرایب ترم‌های ذکر شده با حل پیوسته‌ی معادلات حاکم در حالت مقیاس شده از روش اغتشاش تعیین شده است که در ادامه، به چگونگی اثربخشی آن‌ها در میران بازشدگی از لحظه‌ی کیفی و کمی پرداخته شده است. شکل ۵ نشان می‌دهد که به طورکلی افزایش گرانروی سیال موجب افزایش بازشدگی و کاهش میران رشد شده است.

شکل ۶، مقایسه‌ی بین ضربی طول محاسبه شده با روش اشاره شده اخیر و روش عددی در مرتبه‌ی صفر، یک و بالاتر را نشان می‌دهد. همان‌طور که مشاهده می‌شود، شعاع همگرایی با مقایسه‌ی روش عددی در مرتبه‌ی اول حدوداً 10^0 و در مراتب بالاتر (M^{15}) برابر با 10^{-3} است.

با افزایش ترم‌ها، نه فقط تأثیر چشمگیری در شعاع همگرایی ایجاد نشد، بلکه درنظر گرفتن آن، مسئله را پیچیده‌تر و زمان محاسبات را طولانی تر خواهد کرد. بنابراین، برای افزایش شعاع همگرایی سری و کاهش زمان محاسبات از یک روش استاندارد^[۲۴] استفاده می‌شود که تأثیر به سایی در کاهش اختلاف بین روش‌های

جدول ۵. مقادیر عددی ضرایب طول نیم ترک (γ_m)، فشار خالص (Π_m) و میزان بازدگی ($\bar{\Omega}_m$) مقیاس شده در محل تزریق سیال از مرتبه‌ی $O(\mathcal{M}^m)$ در معادله‌ی ۲۶.

$\bar{\Omega}_m \times 10^{-m}$	$\Pi_m \times 10^{-m}$	$\gamma_m \times 10^{-m}$	
+0, 7322959	+0, 183074	+0, 9322882	$m = 0$
+0, 2525875	+0, 0887609	-0, 1360975	$m = 1$
-0, 1218045	-0, 0473510	+0, 0925011	$m = 2$
+0, 0973277	+0, 0393682	-0, 0839973	$m = 3$
+0, 0951686	-0, 0394409	+0, 0875244	$m = 4$
+0, 1033962	+0, 0435647	-0, 0988005	$m = 5$
-0, 11198166	-0, 0511164	+0, 1175397	$m = 6$
+0, 1452239	+0, 0625148	-0, 1451187	$m = 7$
-0, 1819258	-0, 0787998	+0, 1841876	$m = 8$
+0, 22323567	+0, 1016408	-0, 2388258	$m = 9$
-0, 3051171	-0, 1325038	+0, 3149923	$m = 10$
+0, 4051035	+0, 1779491	-0, 4212626	$m = 11$
-0, 5448721	-0, 2400848	+0, 5899306	$m = 12$
+0, 7406203	+0, 3277234	-0, 7786228	$m = 13$
-1, 0158481	-0, 4499074	1, 0726475	$m = 14$
+1, 4042039	+0, 6232184	-1, 4884103	$m = 15$

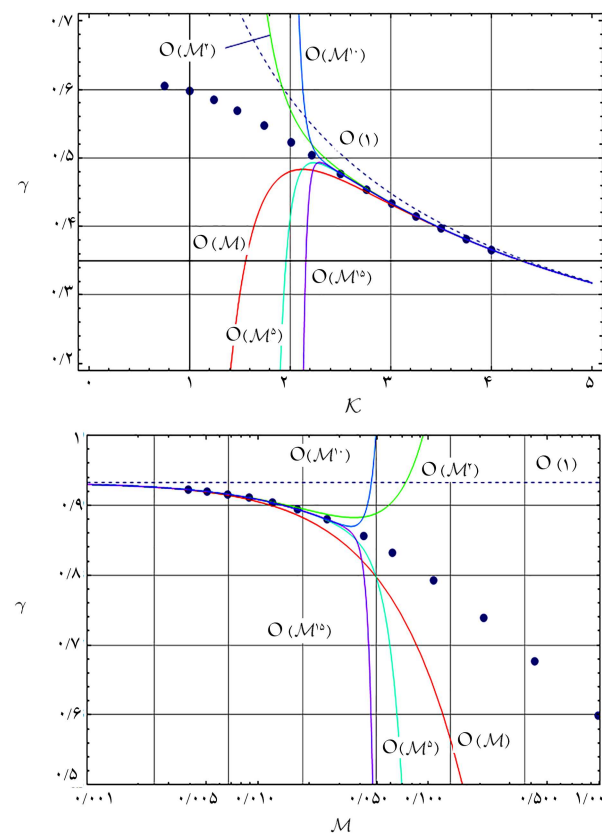


شکل ۷. نمودار Domb-Sykes برای اصلاح سری طول ترک مقیاس شده با گرانروی کوچک (رابطه‌ی ۱-۴ الف).

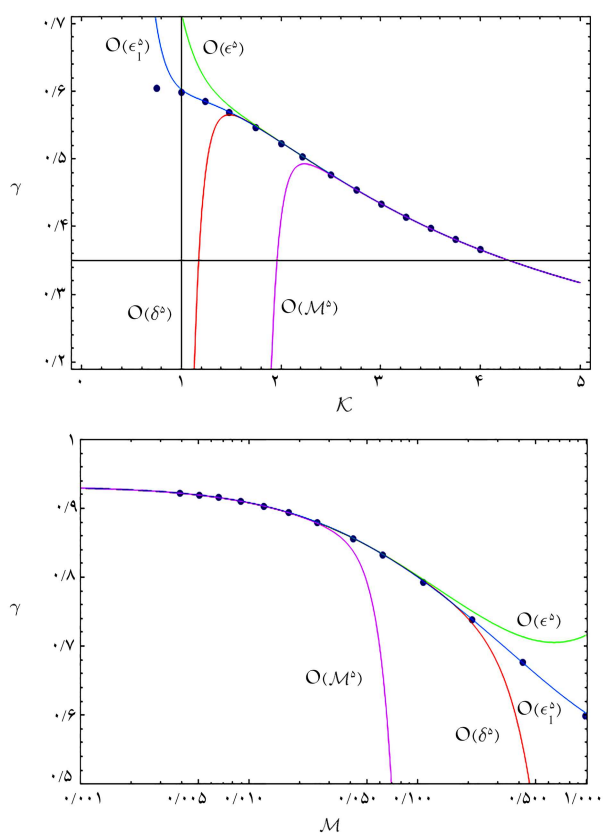
اغتشاش و عددی،^[۱۳] در مقادیر بزرگ‌تری از فراسنجه گرانروی دارد. این اختلاط ناشی از شرایط تکینه‌ی نوک ترک است. برای حذف تکینگی و برای به کارگیری روش اصلاح از تبدیل اویلر^[۲۵] استفاده می‌شود. همچنین تبدیل اویلر باعث افزایش همگرایی می‌شود (رابطه‌ی ۲۷):

$$\delta(\mathcal{M}) = \frac{\mathcal{M}}{(1 + \mathcal{M}/\mathcal{M}_{si})^\alpha}, \alpha \approx \frac{1}{2}, \mathcal{M}_{si} = 0, 0324 \quad (27)$$

مقادیر α و \mathcal{M}_{si} از رسم نمودار Domb-Sykes بر حسب $\gamma : 1/m, m = 1/2, 1, 2, \dots, 15$ مطابق با شکل ۷ تعیین شده است. مقدار عرض از مبدأ برابر با \mathcal{M}_{si}^{-1} و مقدار ۱ است که $S = \mathcal{M}_{si} - \mathcal{M}$ است. در آن شیب خط رگرسیون است. با معکوس کردن رابطه‌ی ۲۷، $(\delta(\mathcal{M}))^{-1}$ و سپس جایگذاری آن در رابطه‌ی ۲۶، رابطه‌ی ۲۸ مشاهده می‌شود.



شکل ۶. مقایسه‌ی ضریب طول مقیاس شده از حل گرانروی کوچک و مانند صفر با تقریب‌های مختلف و نتایج عددی^[۱۳] (در شکل به صورت نقاط دایره‌بی توپر مشاهده می‌شود).



شکل ۸. مقایسه‌ی طول مقیاس شده از حل گرانزوی کوچک و ماند صفر با اعمال تبدیل‌های مختلف از روابط ۲۸ و ۲۹ در تقریب مرتبه‌ی پنجم و نتایج عددی مرجع [۱۳] (در شکل به صورت نقاط دایره‌بی توپر نمایش داده است).

۸. نتیجه‌گیری

در پژوهش حاضر، روش تحلیلی اختشان گسترش یافته برای تعیین میزان انتشار بازشدگی و فشار سیال داخلی ترک در سنگ‌های شکننده در حالت کرنش صفحه‌یی ارائه شده است. مجهولات به‌طور مقیاس شده و با روابط معکوس مقیاس به این صورت تعیین شده‌اند:

$$\begin{aligned} \ell(t) &= \left(\frac{E' Q_{\circ} t}{K'} \right)^{1/4} \sum_{m=0}^{\infty} \{ \varepsilon_l(\mathcal{M}) \}^m \gamma_m, \\ w(x, t) &= \left(\frac{K'^{\prime\prime} Q_{\circ} t}{E'^{\prime\prime}} \right)^{1/4} \sum_{m=0}^{\infty} \{ \varepsilon_l(\mathcal{M}) \}^m \gamma_m \\ &\quad \times \sum_{m=0}^{\infty} \{ \varepsilon_l(\mathcal{M}) \}^m \bar{\Omega}_m \left(\frac{x}{\eta(t)} \right), \\ P(x, t) &= \left(\frac{K'^{\prime\prime}}{E'^{\prime\prime} Q_{\circ} t} \right)^{1/4} \sum_{m=0}^{\infty} \{ \varepsilon_l(\mathcal{M}) \}^m \Pi_m \left(\frac{x}{\ell(t)} \right), \\ \varepsilon_l(\mathcal{M}) &= \ln \left(1 + \varepsilon \frac{\mathcal{M}}{\sqrt{1 + \mathcal{M}/0.0324}} \right), \\ \mathcal{M} &= \left(\frac{K'^{\prime\prime}}{E'^{\prime\prime} \mu' Q_{\circ}} \right)^{1/4} \end{aligned}$$

بررسی‌های انجام شده برای محدوده‌ی $4 \leq \mathcal{K} \leq 1$ اعتبار دارد. به‌طورکلی افزایش گرانزوی سیال موجب افزایش بازشدگی و کاهش میزان رشد و همچنین باعث

جدول ۶. مقادیر عددی ضرایب طول نیم ترک $\gamma_{\delta[m]}$ مقیاس شده اصلاح شده از مرتبه‌ی $O(\delta^m)$.

$\gamma_{\delta[m]}$	$m = 8$	$\gamma_{\delta[m]}$	$m = 0$
+۱۲,۳۹۶۳۱۳۶		+۰,۹۳۲۳۸۸۲	
-۷۸,۷۵۶۵۰۷۰	$m = 9$	-۰,۴۹۰۱۳۴۱	$m = 1$
-۶۹,۶۸۳۴۶۴۱	$m = 10$	-۰,۱۶۱۲۶۳۸	$m = 2$
+۴۵۱,۸۷۹۷۲۹	$m = 11$	+۰,۸۴۹۶۵۴۸	$m = 3$
+۴۱۳,۷۵۸۷۱۴۴	$m = 12$	+۰,۵۴۰۳۷۳۵	$m = 4$
-۲۷۲۴,۲۶۷۳۳۸۹	$m = 13$	-۳,۱۲۶۹۹۱۱۹۳	$m = 5$
-۲۵۶۸,۰۸۲۴۱۰۴	$m = 14$	-۲,۴۰۰۸۲۰۴	$m = 6$
+۱۶۹۲۳,۸۴۱۱۹۶۸	$m = 15$	۱۴,۷۶۶۴۶۴۴	$m = 7$

به دست می‌آید:

$$f(\xi) = \sum_{m=0}^{\infty} \delta(\mathcal{M})^m f_m, \quad f(\xi) = \{ \bar{\Omega}(\xi), \Pi(\xi), \gamma \} \quad (28)$$

در جدول ۶، به‌طور مثال مقادیر عددی ضرایب طول نیم ترک اصلاح شده $\gamma_{\delta[m]}$ ارائه شده است. مسلماً همان‌طور که مشاهده می‌شود، تبدیل $O(\delta^5)$ دقت بسیار بالایی برای رونج‌های بزرگ‌تر از گرانزوی همگرا دارد و به روش عددی آداجی نزدیک‌تر است. همچنین در شکل ۸، مقایسه‌ی بین نیمه طول ترک در سه حالت عددی، بسط بر حسب M و δ بسط (اصلاح شده) در مرتبه‌های مختلف انجام شده است. همان‌طور که مشاهده می‌شود، تبدیل اویلر به‌طور چشم‌گیری باعث افزایش همگرای تا شعاع δ شده است.

در پژوهش حاضر، برای افزایش همگرای مجدداً از دو تبدیل دیگر استفاده شده است (روابط ۲۹):

$$\begin{aligned} \varepsilon(\delta) &= \frac{\delta}{(1 + \delta/\delta_{si})^{\beta}}, \quad \beta = 1, \quad \delta_{si} = 1 \\ \varepsilon_l(\delta) &= \ln \frac{\delta_{l_{si}} + \delta}{\delta_{l_{si}}}, \quad \delta_{l_{si}} = \frac{1}{6} \end{aligned} \quad (29)$$

همچنین ضرایب β , δ_{si} و $\delta_{l_{si}}$ مطابق روش مشابه قبل تعیین می‌شود. همان‌طور که در شکل ۸ مشاهده می‌شود، اعمال تبدیل‌های اخیر باعث همگراشدن تا شعاع نزدیک ۱ است و تطابق بسیار نزدیکی با روش عددی (نقاط توپر در شکل ۸) دارد. این لازم به ذکر است که در شکل ۸، خط $O(\mathcal{M}^5)$ مربوط به مطالعات پژوهشی گاراگاش است و بقیه خطوط مربوط به پژوهش حاضر است. بنا براین راه حل پیشنهادی قادر است که رشد ترک را هم در محدوده‌ی میانی رژیم سختی - گرانزوی پیش‌بینی کند.

کد برنامه‌ی مذکور در محیط Mathematica توسط دمیتری گاراگاش نوشته شده و در پژوهش حاضر بازنویسی و گسترش داده شده است. لازم به ذکر است که مقایسه و کنترل بازشدگی و فشار خالص مقیاس شده در حالت تبدیل اویلر با روش عددی آداجی، [۱۳] نیز تطابق بسیار خوبی نسبت به یکدیگر دارند که در پژوهش حاضر به دلیل مختص‌رسازی از ارائه‌ی آن‌ها خودداری شده است.

تقدیر و تشکر

افرازیش میزان فشار خالص در محل تزریق می‌شود و در نوک آن سیر نزولی دارد.
در پیان با مقایسه‌ی نتایج پژوهش حاضر با پژوهش آدچی (۲۰۰۱)،^[۱۳] می‌توان دریافت که نوشتار حاضر، اعتبار کافی دارد.

فهرست علاوه‌المناسبت

- V : حجم سیال تزریقی؛
 σ : کمینه تنش بر جا؛
 σ_{\max} : بیشینه تنش بر جا؛
 w : بازشدگی ترک؛
 p : فشار خالص سیال بر سطوح ترک؛
 p_f : فشار سیال بر سطوح ترک؛
 $G(x, s)$: تابع کرnel در معادله‌ی کشسانی؛
 v_x : سرعت سیال در جهت x ؛
 q : نزدیکی سیال؛
 K_I : شدت تنش در مود اول در نوک ترک؛
 μ : گرانزوی دینامیکی موثر سیال؛
 K' : چقرمگی موثر محیط (سنگ)؛
 ε : فراسنج کوچک؛
 γ : ضریب طول مقیاس شده و بدون بعد؛
 L : مقیاس طول؛
 Ω : بازشدگی بی بعد شده ترک؛
 $\bar{\Omega}$: بازشدگی مقیاس شده مجدد؛
 Π : فشار بی بعد شده در سطوح ترک؛
 G_μ : فراسنج بی بعد شده گرانزوی؛
 G_k : فراسنج بی بعد شده سختی؛
 M_k : فراسنج گرانزوی در مقیاس سختی؛
 \mathcal{K}_m : فراسنج سختی در مقیاس گرانزوی؛
 L_m : طول بی بعد ترک در مقیاس گرانزوی؛
 L_k : طول بی بعد ترک در مقیاس سختی؛
 ϑ : سرعت سیال بی بعد شده؛
 $\bar{\vartheta}$: سرعت سیال مقیاس شده مجدد.
- x : مختصات طولی معمولاً در جهت رشد ترک؛
 s : فراسنج کمکی هم بعد با فراسنج x ؛
 ζ : موقعیت مکانی بی بعد شده؛
 $\bar{\zeta}$: فراسنج کمکی مکانی بی بعد شده (شکل بی بعد شده فراسنج s)؛
 ℓ : طول ترک؛
 E : مدول یانگ یا کشسانی محیط؛
 E' : مدول یانگ موثر؛
 v : ضریب پواسون؛
 K_{Ic} : چقرمگی؛
 μ : گرانزوی یا لزجت دینامیکی سیال؛
 ρ : جرم مخصوص سیال؛
 Q : نزدیکی تزریق؛
 t : زمان؛

پانوشت‌ها

- Khristianovic and Zheltov; Geertsma and de Klerk (KGD or KZGD)
- penny shape or radial
- perkins and kern; nordgern (PKN)
- self-similar solution
- finite toughness
- square-root tip asymptote
- stress intensity factor
- similarity variable
- crack inlet
- zero toughness
- tip asymptote
- M-vertex solution
- logarithmic singularity
- K-vertex solution
- MK-edge solution
- Linear elastic fracture mechanics (LEFM)
- lag

- process zone
- lubrication approximation
- poiseuille equation
- evolution parameters
- perturbation method
- interpolation
- domb-sykes
- Euler transformation

منابع (References)

- Garagash, D.I. "Plane-strain propagation of a fluid-driven fracture during injection and shut-in: Asymptotics of large toughness", *Engineering Fracture Mechanics*, **73**(4), pp. 456-481 (2006)
- Asgari, A. "Hydraulic fracture propagation in brittle rock: Based on hydro-mechanical model", PhD Thesis, Tarbait Modares University, Tehran (2016).

3. Khristianovic, S. and Zheltov, Y. "Formation of vertical fractures by means of highly viscous fluids", In Proc. 4th World Petroleum Congress, Rome (1955).
4. Barenblatt, G.I. "The formation of equilibrium cracks during brittle fracture, General ideas and hypotheses, Axially-symmetric cracks", *Journal of Applied Mathematics and Mechanics*, **23**(3), pp. 622-636 (1959).
5. Perkins, T. and Kern, L. "Widths of hydraulic fractures", *Journal of Petroleum Technology*, **13**(09), pp. 937-949 (1961).
6. Geertsma, J. and De Klerk, F. "A rapid method of predicting width and extent of hydraulically induced fractures", *Journal of Petroleum Technology*, **21**(12), pp. 1571-1581 (1969).
7. Nordgren, R. "Propagation of a vertical hydraulic fracture", *Society of Petroleum Engineers Journal*, **12**(04), pp. 306-314 (1972).
8. Geertsma, J. and Haafkens, R. "A comparison of the theories for predicting width and extent of vertical hydraulically induced fractures", *Journal of Energy Resources Technology*, **101**(1), pp. 8-19 (1979).
9. Spence, D. and Sharp, P. "Self-similar solutions for elasto-hydrodynamic cavity flow", *Proceedings of the Royal Society of London A: Mathematical and Physical Sciences*, **400**(1819), pp. 289-313 (1985).
10. Nilson, R. "Similarity solutions for wedge-shaped hydraulic fractures driven into a permeable medium by a constant inlet pressure", *International Journal for Numerical and Analytical Methods in Geomechanics*, **12**(5), pp. 477-495 (1988).
11. Carbonell, R.S. "Self-similar solution of a fluid-driven fracture in a zero toughness elastic solid", Proc. Roy. Soc., London (1996).
12. Desroches, J., Detournay, E., Lenoach, B. and et al. "The crack tip region in hydraulic fracturing", In *Proceedings of the Royal Society of London A: Mathematical, Physical and Engineering Sciences*, The Royal Society, **447**(1929), pp. 39-48 (1994).
13. Adachi, J.I. "Fluid-driven fracture in permeable rock", PhD Thesis, University of Minnesota (2001).
14. Nilson, R. "Gas-driven fracture propagation", *J. Appl. Mech., (United States)*, **48**(4), pp. 757-762 (1981).
15. Garagash, D. and Detournay, E. "Viscosity-dominated regime of a fluid-driven fracture in an elastic medium", in IUTAM Symposium on Analytical and Computational Fracture Mechanics of Non-Homogeneous Materials, Springer (2002).
16. Savitski, A. and Detournay, E. "Propagation of a penny-shaped fluid-driven fracture in an impermeable rock: Asymptotic solutions", *International Journal of Solids and Structures*, **39**(26), pp. 6311-6337 (2002).
17. Savitski, A. and E. Detournay. "Similarity solution of a penny-shaped fluid-driven fracture in a zero-toughness linear elastic solid", *Comptes Rendus de l'Academie des Sciences-Series IIb-Mechanics*, **329**(4), pp. 255-262 (2001).
18. Garagash, D. "Hydraulic fracture propagation in elastic rock with large toughness", in 4th North American Rock Mechanics Symposium, American Rock Mechanics Association (2000).
19. Garagash, D.I. and Detournay, E. "Plane-strain propagation of a fluid-driven fracture: Small toughness solution", *Journal of Applied Mechanics*, **72**(6), pp. 916 (2005).
20. Adachi, J.I., Detournay, E. and Peirce, A.P. "Analysis of the classical pseudo-3D model for hydraulic fracture with equilibrium height growth across stress barriers", *International Journal of Rock Mechanics and Mining Sciences*, **47**(4), pp. 625-639 (2010).
21. Adachi, J.I. and Peirce, A.P. "Asymptotic analysis of an elasticity equation for a finger-like hydraulic fracture", *Journal of Elasticity*, **90**(1), pp. 43-69 (2008).
22. Dontsov, E. and Peirce, A. "Proppant transport in hydraulic fracturing: Crack tip screen-out in KGD and P3D models", *International Journal of Solids and Structures*, **63**, pp. 206-218 (2015).
23. Dontsov, E. and Peirce, A. "An enhanced pseudo-3D model for hydraulic fracturing accounting for viscous height growth, non-local elasticity, and lateral toughness", *Engineering Fracture Mechanics*, **142**, pp. 116-139 (2015).
24. Kemp, L.F. "Study of Nordgren's equation of hydraulic fracturing", *SPE Production Engineering*, **5**(03), pp. 311-314 (1990).
25. Kovalyshen, Y. and Detournay, E. "A reexamination of the classical PKN model of hydraulic fracture", *Transport in Porous Media*, **81**(2), pp. 317-339 (2010).
26. Detournay, E., Peirce, A. and Bunger, A. "Viscosity-dominated hydraulic fractures", In 1st Canada-US Rock Mechanics Symposium, American Rock Mechanics Association (2007).
27. Adachi, J. and Detournay, E. "Self similar solution of a plane strain fracture driven by a power law fluid", *International Journal for Numerical and Analytical Methods in Geomechanics*, **26**(6), pp. 579-604 (2002).
28. Bunger, A., Detournay, E.M., Garagash, D.I. and et al. "Numerical simulation of hydraulic fracturing in the viscosity dominated", In *SPE Hydraulic Fracturing Technology Conference*, Society of Petroleum Engineers (2007).
29. Bunger, A.P. and Detournay, E. "Early-time solution for a radial hydraulic fracture", *Journal of Engineering Mechanics*, **133**(5), pp. 534-540 (2007).
30. Abe, H., Keer, L. and Mura, T. "Growth rate of a penny-shaped crack in hydraulic fracturing of rocks", *Journal of Geophysical Research*, **81**(35), pp. 6292-6298 (1976).
31. Garagash, D.I. "Propagation of a plane-strain hydraulic fracture with a fluid lag: Early-time solution", *International Journal of Solids and Structures*, **43**(18-19), pp. 5811-5835 (2006).
32. Garagash, D. "Transient solution for a plane-strain fracture driven by a shear-thinning, power-law fluid", *International Journal for Numerical and Analytical Methods in Geomechanics*, **30**(14), pp. 1439-1475 (2006).
33. Savitski, A.A. "Propagation of a pennyshape hydraulic fracture in an impermeable rock", PhD Thesis, University of Minnesota (2000).

34. Asgari, A., Golshani, A. and Lakirouhani, A. "Hydraulic fracture propagation in brittle rock: Considering interaction term between fluid inertia and viscosity parameters", *Sharif Journal, Civil Engineering*, **32.2**(2.1), pp. 59-66 (In Persian) (2016).
35. Garagash, D. and Detournay, E. "Erratum:Plane-strain propagation of a fluid-driven fracture: Small toughness solution", *Journal of Applied Mechanics*, bf 72(6), pp. 916-928, *Journal of Applied Mechanics*, **74**(4), pp. 832-832 (2007).
36. Sneddon, I.N., Lowengrub, M. and Mathematician, P. "Crack problems in the classical theory of elasticity", Wiley New York (1969).
37. Nilson, R. "Gas-driven fracture propagation", *Journal of Applied Mechanics*, **48**(4), pp. 757-762 (1981).
38. Shapiro, R.A. "The dynamics and thermodynamics of compressible fluid flow", New York: Ronald Press, 2(1) (1954).
39. Batchelor, G. "An introduction to fluid dynamics", Cambridge Univ. Press, Bentley House, London (1967).
40. Rice, J.R. "Mathematical analysis in the mechanics of fracture", *Fracture: An Advanced Treatise*, **2**, pp. 191-311 (1968).
41. Detournay, E. "Propagation regimes of fluid-driven fractures in impermeable rocks", *International Journal of Geomechanics*, **4**(1), pp. 35-45 (2004).
42. Adachi, J.I. and Detournay, E. "Plane strain propagation of a hydraulic fracture in a permeable rock", *Engineering Fracture Mechanics*, **75**(16), pp. 4666-4694 (2008).
43. Sarvaramini, E. and Garagash, D.I. "Breakdown of a Pressurized Fingerlike Crack in a Permeable Solid", *Journal of Applied Mechanics*, **82**(6), pp.061006-(1-10) (2015).
44. Van Dyke, M.D. "Perturbation methods in fluid dynamics", Stanford: Parabolic Press (1975).
45. Van Dyke, M.D. "Analysis and improvement of perturbation series", *The Quarterly Journal of Mechanics and Applied Mathematics*, **27**(4), pp. 423-450 (1974).